



Fonctions Optiques pour les
Technologies de l'informatiON



Une analyse matricielle non perturbative de la constante de couplage entre guides d'onde monomodes planaires

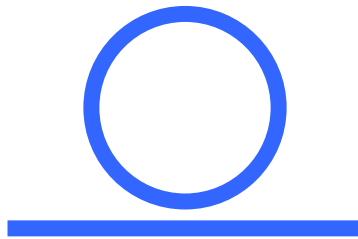
Yann G. BOUCHER⁽¹⁾

yann.boucher@enib.fr

(1) Laboratoire FOTON (Équipe Systèmes Photoniques)

- 1) Position du problème
- 2) Couplage d'ondes codirectionnel
 - Point de vue formel
 - Approche perturbative
 - Approche matricielle
 - Profil des modes
 - Constantes de couplage
- 3) Couplage pondéré
- 4) Conclusions et perspectives

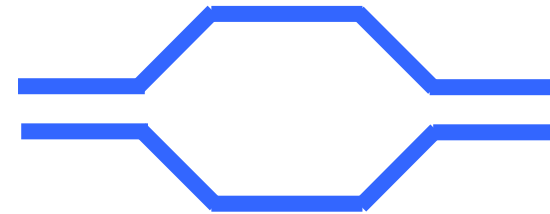
Le couplage en optique intégrée



Résonateur



Répartiteur

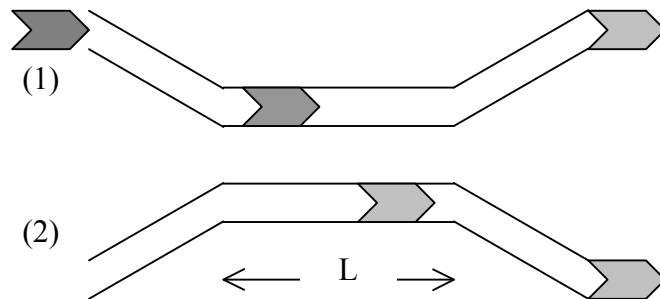


Interféromètre

Recouvrement par ondes évanescentes

Opérateur d'évolution

Soit deux guides monomodes, de constantes de propagation (β_1, β_2) .



$F(t)$ en $e^{+i \omega t}$

$$i \frac{\partial}{\partial z} \begin{pmatrix} F_1 \\ F_2 \end{pmatrix} = \begin{pmatrix} \beta + \Delta & \chi \\ \chi & \beta - \Delta \end{pmatrix} \begin{pmatrix} F_1 \\ F_2 \end{pmatrix}$$

$$F_n(z) = A_n(z) e^{-i \beta z}$$

- *vecteur d'onde moyen* : $\beta = (\beta_1 + \beta_2)/2$
- *désaccord de phase* : $\Delta = (\beta_1 - \beta_2)/2$
- *constante de couplage* : χ (réel positif)

$$i \frac{\partial}{\partial z} \begin{pmatrix} A_1 \\ A_2 \end{pmatrix} = \begin{pmatrix} \Delta & \chi \\ \chi & -\Delta \end{pmatrix} \begin{pmatrix} A_1 \\ A_2 \end{pmatrix} \Rightarrow -\frac{\partial^2}{\partial z^2} \begin{pmatrix} A_1 \\ A_2 \end{pmatrix} = \begin{pmatrix} \chi^2 + \Delta^2 & 0 \\ 0 & \chi^2 + \Delta^2 \end{pmatrix} \begin{pmatrix} A_1 \\ A_2 \end{pmatrix}$$

$$\boxed{\frac{\partial^2 A_n}{\partial z^2} + \Gamma^2 A_n = 0} \quad (\Gamma^2 = \chi^2 + \Delta^2)$$

Enveloppes lentement variables

Expression générale :

$$A_1(z) = a_1 \cos(\Gamma z) + b_1 \sin(\Gamma z)$$

$$A_2(z) = a_2 \cos(\Gamma z) + b_2 \sin(\Gamma z)$$

Conditions aux limites : en $z = 0$

$$\begin{aligned} A_1(0) = A_{10} = a_1, & \quad i (dA_1/dz)_{(z=0)} = i \Gamma b_1 = \Delta A_{10} + \chi A_{20} \\ A_2(0) = A_{20} = a_2, & \quad i (dA_2/dz)_{(z=0)} = i \Gamma b_2 = \chi A_{10} - \Delta A_{20} \end{aligned}$$

Tout calcul fait, au bout d'une distance z :

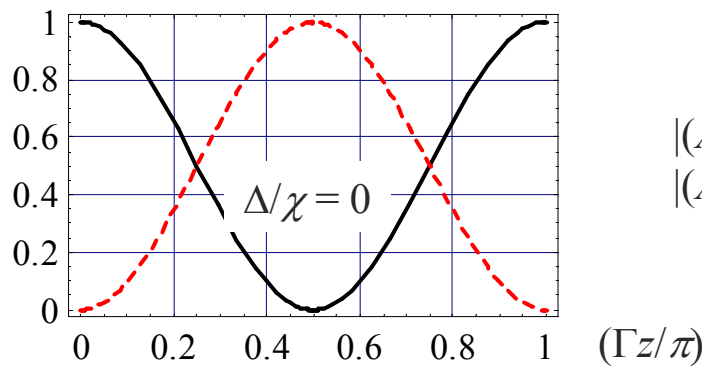
$$\begin{pmatrix} A_1(z) \\ A_2(z) \end{pmatrix} = \begin{pmatrix} \cos(\Gamma z) - i \frac{\Delta}{\Gamma} \sin(\Gamma z) & -i \frac{\chi}{\Gamma} \sin(\Gamma z) \\ -i \frac{\chi}{\Gamma} \sin(\Gamma z) & \cos(\Gamma z) + i \frac{\Delta}{\Gamma} \sin(\Gamma z) \end{pmatrix} \begin{pmatrix} A_{10} \\ A_{20} \end{pmatrix}$$

Transfert d'énergie

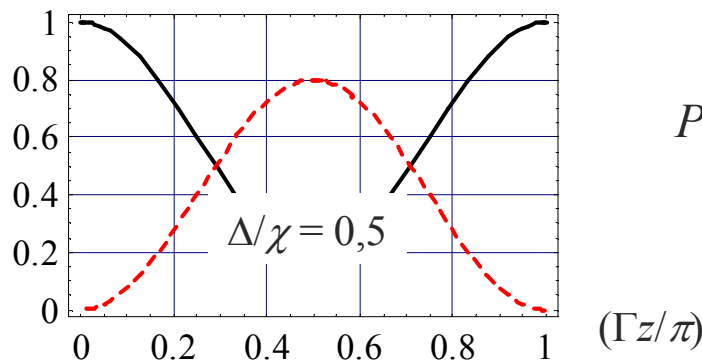
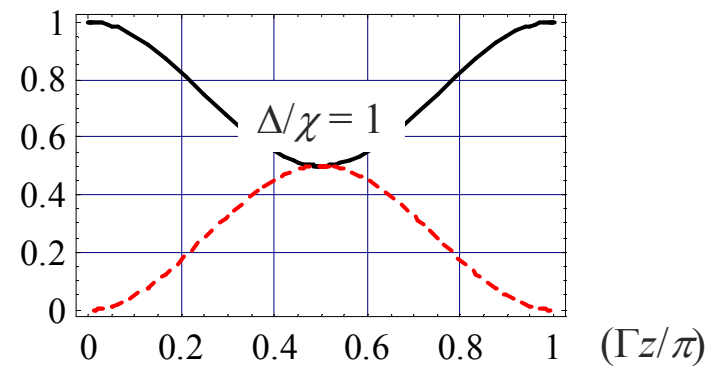
Conditions aux limites : $A_1(0) = A_{10}, A_2(0) = 0$; $\Gamma = [\chi^2 + \Delta^2]^{1/2}$.

$$A_1(z) = A_{10} \times [\cos(\Gamma z) - i (\Delta/\Gamma) \sin(\Gamma z)],$$

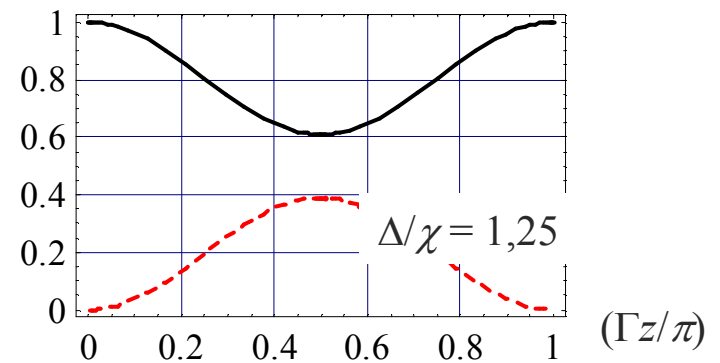
$$A_2(z) = A_{10} \times [-i (\chi/\Gamma) \sin(\Gamma z)].$$



$|A_1/A_{10}|^2$ (—),
 $|A_2/A_{10}|^2$ (- -)



$P_1 + P_2 = \text{cte}$



Matrice de type Jones

Connecte les champs entre les abscisses $z = 0$ et $z = L$:

- enveloppes lentement variables (A_n) :

$$\begin{pmatrix} A_{1L} \\ A_{2L} \end{pmatrix} = \begin{pmatrix} \cos(\Gamma L) - i \frac{\Delta}{\Gamma} \sin(\Gamma L) & -i \frac{\chi}{\Gamma} \sin(\Gamma L) \\ -i \frac{\chi}{\Gamma} \sin(\Gamma L) & \cos(\Gamma L) + i \frac{\Delta}{\Gamma} \sin(\Gamma L) \end{pmatrix} \begin{pmatrix} A_{10} \\ A_{20} \end{pmatrix}$$

- avec les phases (F_n) :

$$\begin{pmatrix} F_{1L} \\ F_{2L} \end{pmatrix} = e^{-i\beta L} \begin{pmatrix} \cos(\Gamma L) - i \frac{\Delta}{\Gamma} \sin(\Gamma L) & -i \frac{\chi}{\Gamma} \sin(\Gamma L) \\ -i \frac{\chi}{\Gamma} \sin(\Gamma L) & \cos(\Gamma L) + i \frac{\Delta}{\Gamma} \sin(\Gamma L) \end{pmatrix} \begin{pmatrix} F_{10} \\ F_{20} \end{pmatrix}$$

Analogie atomique

Système à 2 niveaux :

$$H_0 |\varphi_1\rangle = E_1 |\varphi_1\rangle,$$

$$H_0 |\varphi_2\rangle = E_2 |\varphi_2\rangle,$$

$$\langle \varphi_i | \varphi_j \rangle = \delta_{ij}, (i, j = 1, 2).$$

Énergie moyenne : $E = (E_1' + E_2')/2,$

Écart d'énergie : $\Delta E = (E_1' - E_2')/2$

Valeurs propres : $E^\pm = E \pm [\Delta E^2 + W^2]^{1/2}.$

Vecteurs propres : $|\varphi^+\rangle = +\cos(\theta/2) |\varphi_1\rangle + \sin(\theta/2) |\varphi_2\rangle,$

$|\varphi^-\rangle = -\sin(\theta/2) |\varphi_1\rangle + \cos(\theta/2) |\varphi_2\rangle,$

$\text{tg}(\theta) = W/\Delta E,$ avec $\theta \in [0, \pi[.$

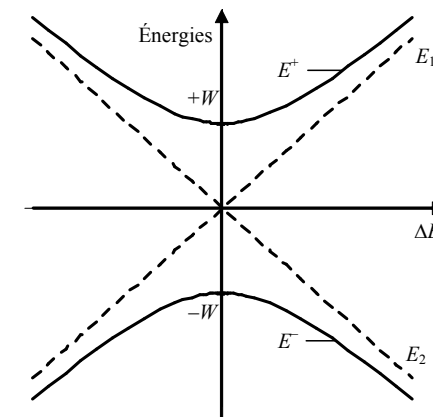
Hamiltonien non perturbé

$$H_0 = \begin{pmatrix} E_1 & 0 \\ 0 & E_2 \end{pmatrix}$$

Hamiltonien perturbé

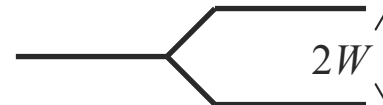
$$H = \begin{pmatrix} E_1' & W \\ W & E_2' \end{pmatrix}$$

E^+ et E^- en fonction de $\Delta E.$



Sous l'effet du couplage non-diagonal, les niveaux perturbés « se repoussent » (formules de Rabi).

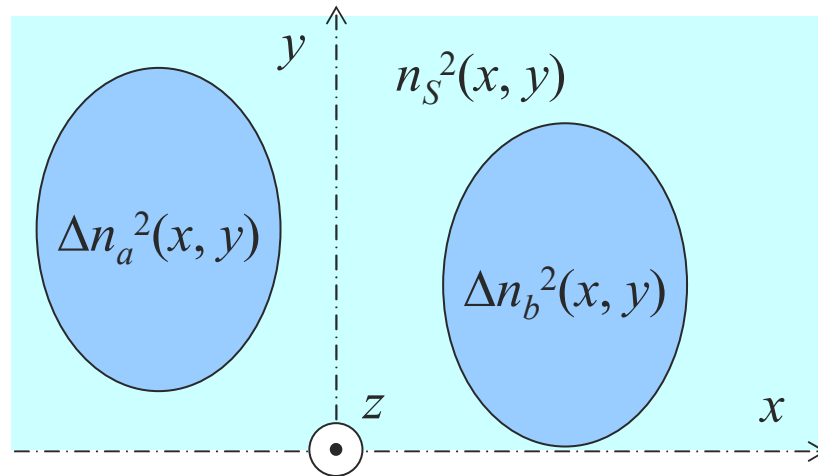
Si $E_1' = E_2'$, levée de dégénérescence :



Couplage d'ondes : approche perturbative (1)

9

D'après A. Yariv & P. Yeh, *Optical Waves in Crystals*, Wiley, 1984.



$$\mathbf{E} = A(z) \mathcal{E}_a(x, y) e^{-i\beta_a z} + B(z) \mathcal{E}_b(x, y) e^{-i\beta_b z}$$

$$\begin{cases} i \frac{\partial A}{\partial z} = \chi_{aa} A + \chi_{ab} B e^{+i(\beta_a - \beta_b)z} \\ i \frac{\partial B}{\partial z} = \chi_{bb} B + \chi_{ba} A e^{-i(\beta_a - \beta_b)z} \end{cases}$$

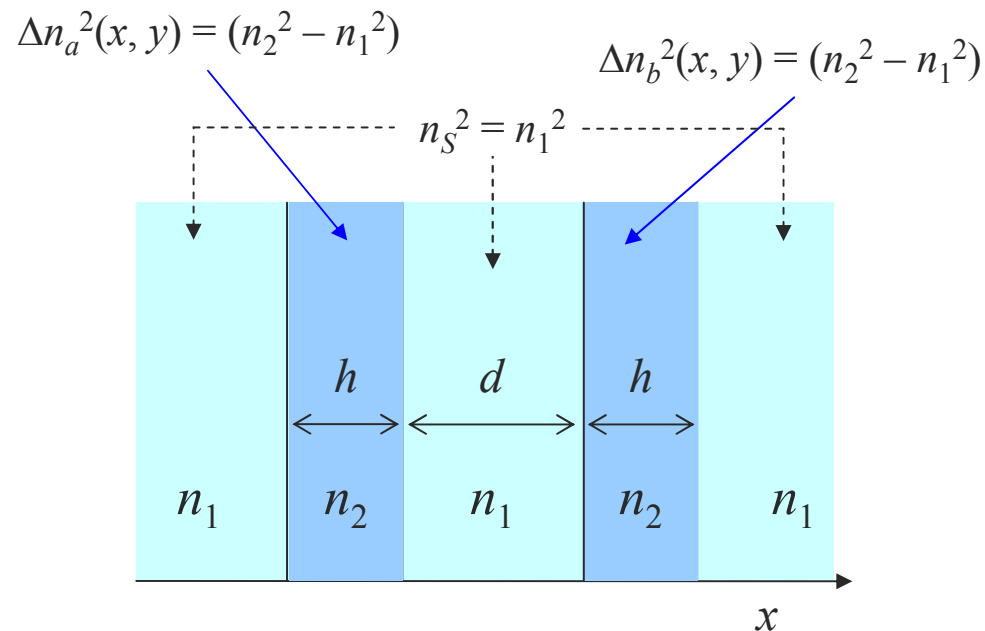
Constante de couplage (χ)

$$\begin{pmatrix} \beta_a & 0 \\ 0 & \beta_b \end{pmatrix} \rightarrow \begin{pmatrix} \beta_a' & \chi \\ \chi & \beta_b' \end{pmatrix}$$

Correctif diagonal ($\beta_u' - \beta_u$)

$$\begin{cases} \chi_{ab} = \frac{\omega \varepsilon_0}{4} \int \mathcal{E}_a^* \cdot \Delta n_a^2(x, y) \mathcal{E}_b \, dx \, dy \\ \chi_{ba} = \frac{\omega \varepsilon_0}{4} \int \mathcal{E}_b^* \cdot \Delta n_b^2(x, y) \mathcal{E}_a \, dx \, dy \\ \chi_{aa} = \frac{\omega \varepsilon_0}{4} \int \mathcal{E}_a^* \cdot \Delta n_b^2(x, y) \mathcal{E}_a \, dx \, dy \\ \chi_{bb} = \frac{\omega \varepsilon_0}{4} \int \mathcal{E}_b^* \cdot \Delta n_a^2(x, y) \mathcal{E}_b \, dx \, dy \end{cases}$$

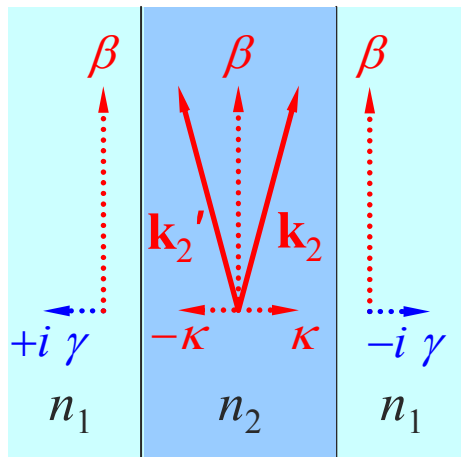
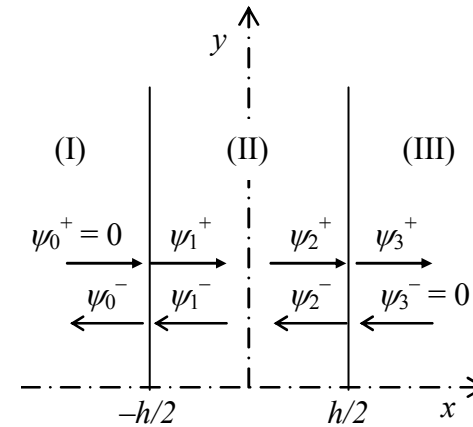
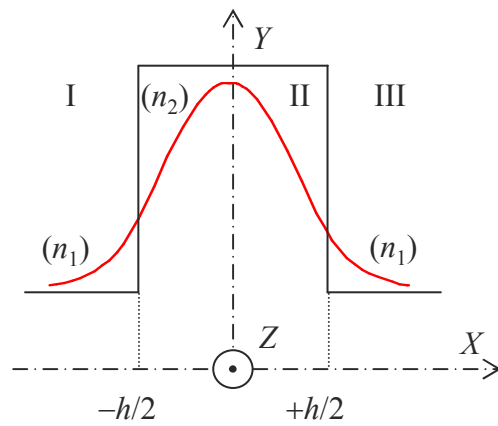
Dans le cas particulier des guides planaires, l'existence d'une solution analytique connue pour les modes guidés donne accès au calcul explicite des constantes de couplage (Yariv & Yeh, *opus cité*, 1984)



Le calcul perturbatif prédit une décroissance exponentielle de la constante de couplage χ en fonction de l'espacement d .

Mais une approche matricielle *non perturbative* est également accessible...

Le guide d'onde monomode isolé



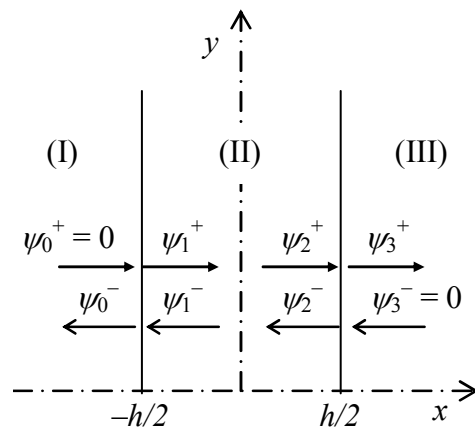
Zone (1) : $\beta^2 - \gamma^2 = k_1^2 = \epsilon_1 \mu_1 k_0^2$,

Zone (2) : $\beta^2 + \kappa^2 = k_2^2 = \epsilon_2 \mu_2 k_0^2 > k_1^2$.

$$\forall p \in \{1, 2\},$$

$\psi_p^+ = A_p e^{-i \kappa x}$ et $\psi_p^- = B_p e^{+i \kappa x}$ si propagation,

$\psi_p^+ = A_p e^{-\gamma x}$ et $\psi_p^- = B_p e^{+\gamma x}$ si évanescente.



Matrice de transfert (TE/TM)

$$\begin{pmatrix} 0 \\ \psi_0^- \end{pmatrix} = \begin{pmatrix} m_{11} & m_{12} \\ m_{21} & m_{22} \end{pmatrix} \begin{pmatrix} \psi_3^+ \\ 0 \end{pmatrix}$$

Résonance modale : $m_{11} = 0$

$$[m] = \begin{pmatrix} \cos \kappa h - \frac{1}{2} \left(\rho - \frac{1}{\rho} \right) \sin \kappa h & -\frac{1}{2} \left(\rho + \frac{1}{\rho} \right) \sin \kappa h \\ \frac{1}{2} \left(\rho + \frac{1}{\rho} \right) \sin \kappa h & \cos \kappa h + \frac{1}{2} \left(\rho - \frac{1}{\rho} \right) \sin \kappa h \end{pmatrix}$$

$$\rho_{TE} = \frac{\mu_1 \kappa}{\mu_2 \gamma} = \frac{\mu_1 \kappa h}{\mu_2 \gamma h}, \quad \rho_{TM} = \frac{\varepsilon_1 \kappa}{\varepsilon_2 \gamma} = \frac{\varepsilon_1 \kappa h}{\varepsilon_2 \gamma h}.$$

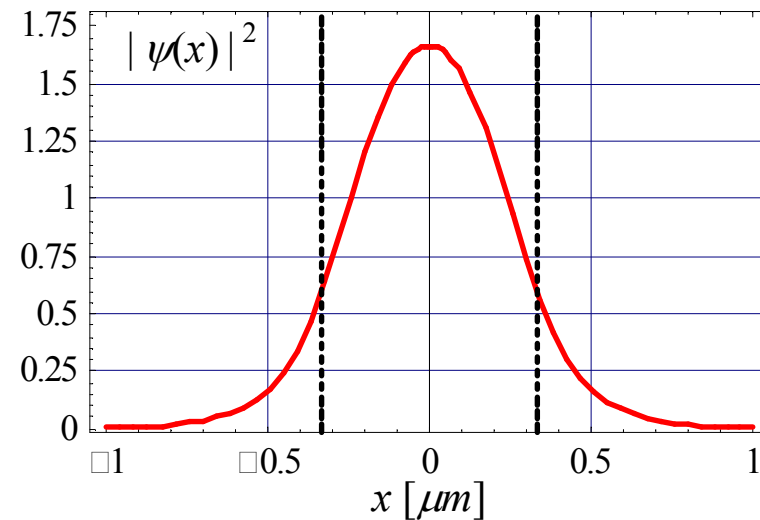
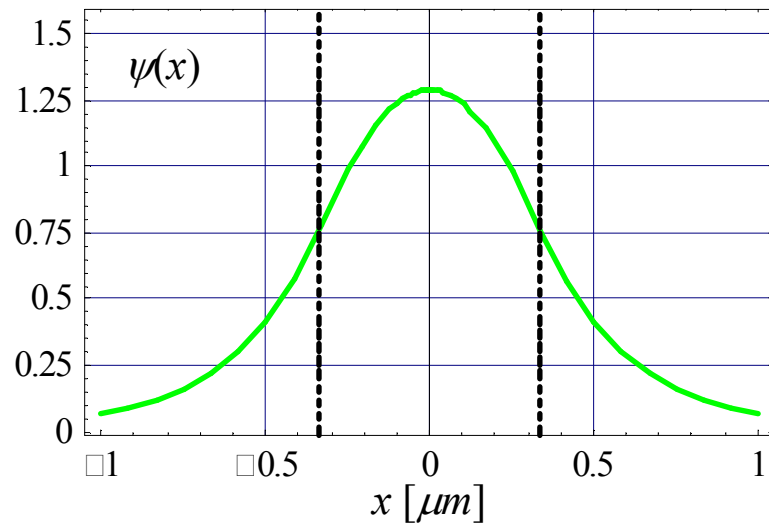
Profil du mode (TE)

$$V = k_0 h [\varepsilon_2 \mu_2 - \varepsilon_1 \mu_1]^{1/2}$$

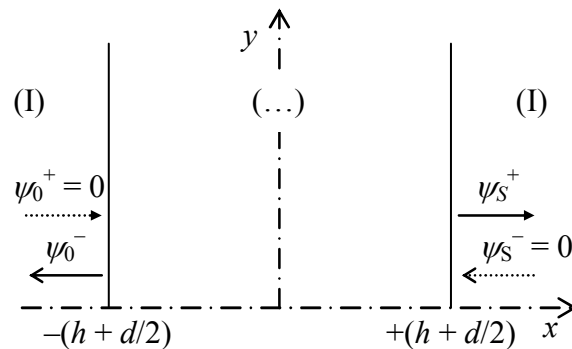
$$\lambda_0 = 1,5 \mu\text{m} ; \varepsilon_1 = 1 ; \varepsilon_2 = 2,25 ; \mu_1 = \mu_2 = 1 ; h = 0,67 \mu\text{m}$$

$$(V \approx \pi)$$

$$\int |\psi(x)|^2 dx = 1$$



Le système symétrique couplé



$$\begin{pmatrix} 0 \\ \psi_0^- \end{pmatrix} = [M] \begin{pmatrix} \psi_s^+ \\ 0 \end{pmatrix}$$

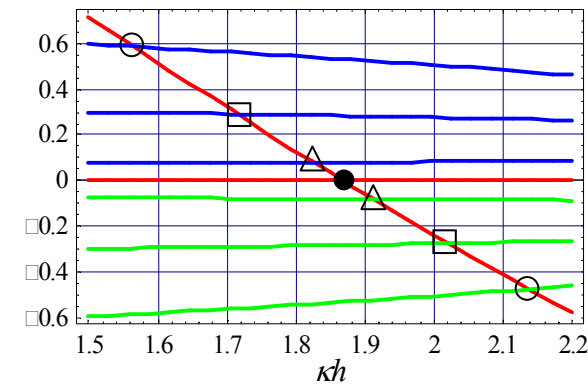
$$[M] = [m] \begin{pmatrix} \exp(+\gamma d) & 0 \\ 0 & \exp(-\gamma d) \end{pmatrix} [m]$$

Résonance modale :

$$M_{11} = 0 \Leftrightarrow m_{11} = \pm m_{21} e^{-\gamma d}$$

Représentation graphique pour diverses valeurs de d :
 courbes m_{11} , $m_{21} e^{-\gamma d}$, $-m_{21} e^{-\gamma d}$ en fonction de kh ;
 guide isolé [$m_{11} = 0$, ●],

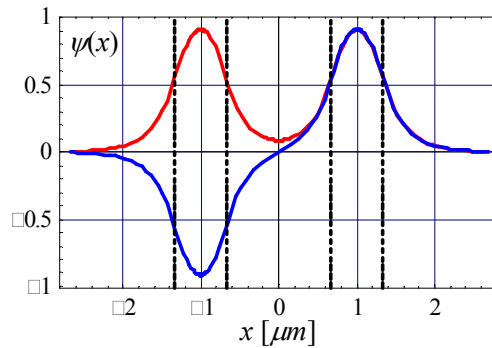
$(d/h) = 1$ [△], $(d/h) = 1/2$ [□] et $(d/h) = 1/4$ [○].



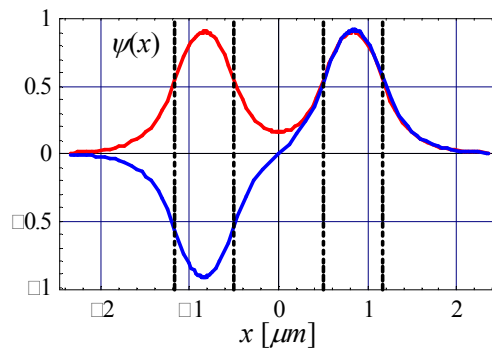
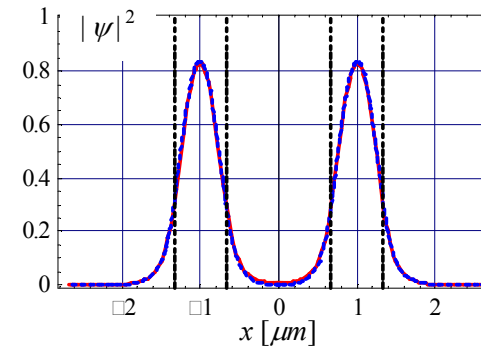
$$\text{Puis } kh \Rightarrow (\beta_e, \beta_o)$$

$$\Rightarrow \chi = (\beta_e - \beta_o)/2$$

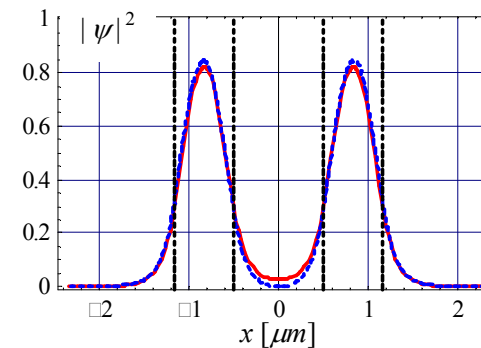
Profil des modes (1)



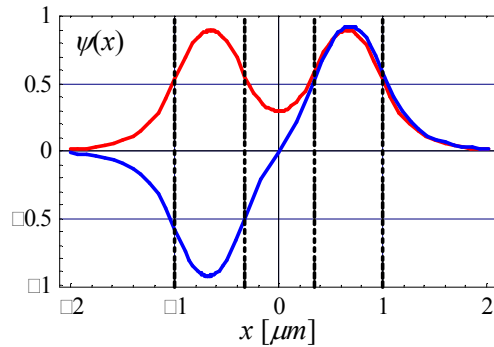
$$d = 2h$$



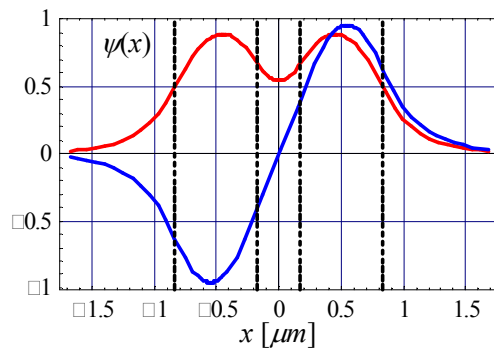
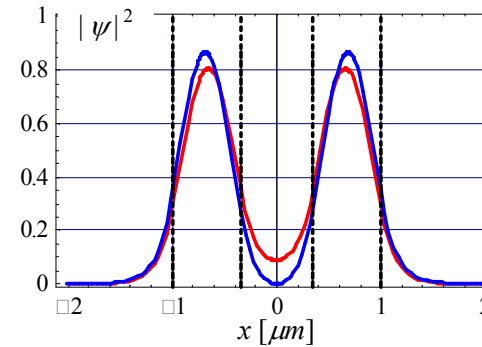
$$d = 3h/2$$



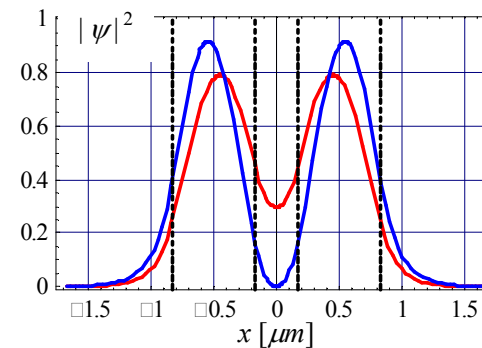
Profil des modes (2)



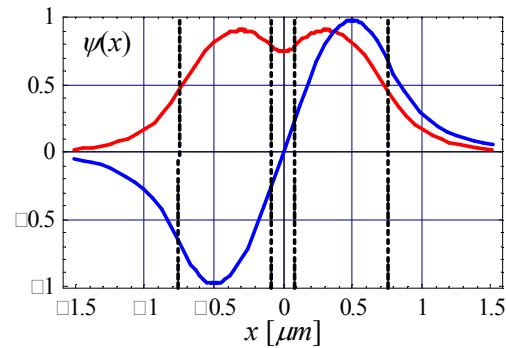
$$d = h$$



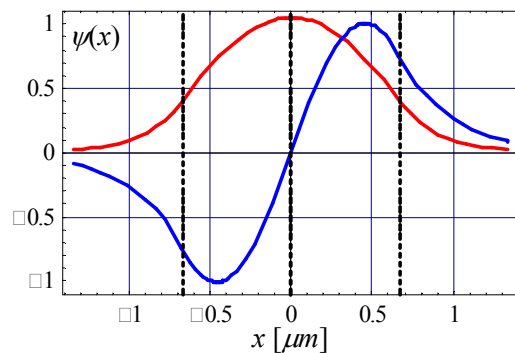
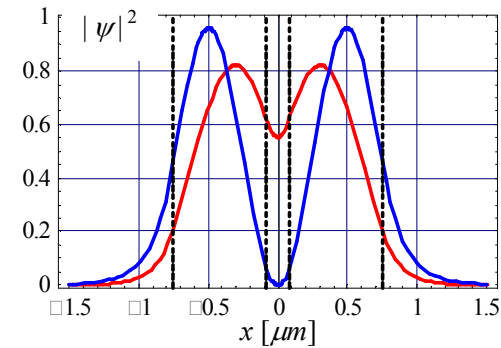
$$d = h/2$$



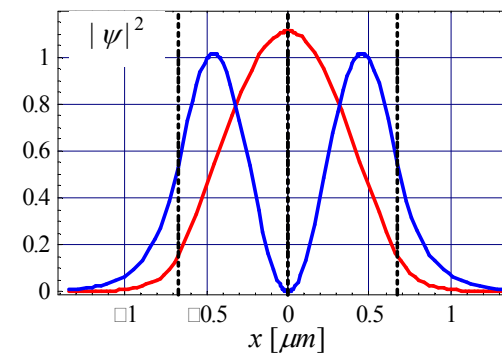
Profil des modes (3)



$$d = h/4$$



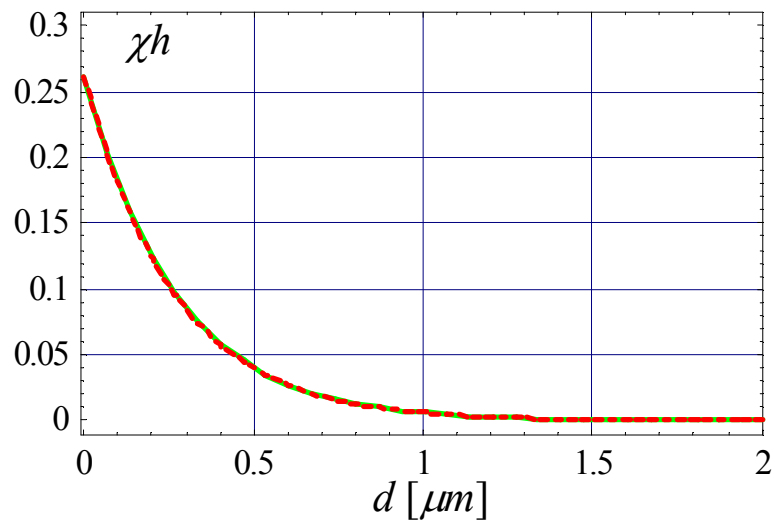
$$d = 0$$



Constante de couplage et « correctif diagonal »

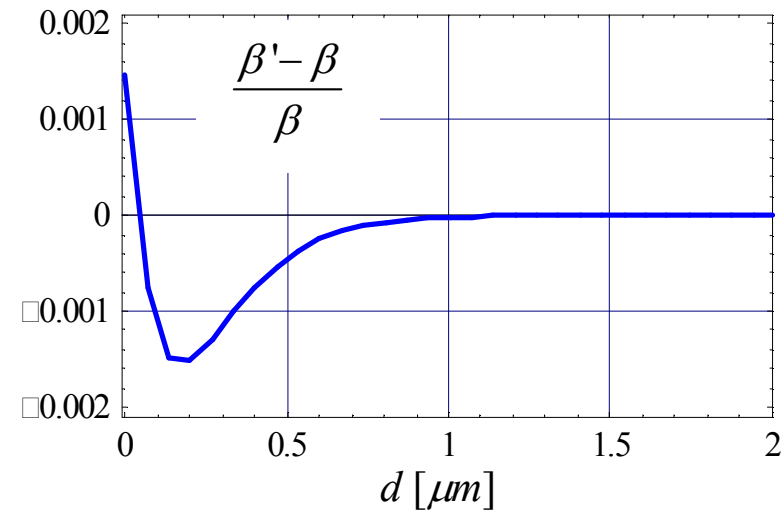
$$\chi = \frac{\beta_e - \beta_o}{2}$$

$$\beta' = \frac{\beta_e + \beta_o}{2}$$



La constante de couplage décroît avec d en

$$\chi h = (\chi_0 h) e^{-\gamma d}.$$



Le correctif **ne suit pas** la tendance prévue par le calcul perturbatif.

- 1) La constante de couplage normalisée χh est nécessairement *bornée* par une valeur limite supérieure $\chi_0 h$, obtenue pour $d \rightarrow 0$.
- 2) Fondamentalement, tout guide d'onde planaire *bimode* est formellement assimilable à un système de deux guides d'ondes *monomodes* couplés.
- 3) Plus généralement, pour un état de polarisation donné, tout guide planaire *multimode* à N modes peut s'interpréter comme un système de N guides *monomodes* identiques couplés.
- 4) Avec un excellent degré d'approximation, la constante de couplage varie selon $\chi h = (\chi_0 h) e^{-\gamma d}$, confirmant l'approche perturbative, et ouvrant ainsi la voie à l'étude du couplage non uniforme selon Oz .
- 5) La contribution *diagonale* du couplage ressort également de l'analyse ; non intuitive, elle devient négligeable dès lors que l'écart interguide d est de l'ordre de la largeur h d'un guide.

« Constante » de couplage *non uniforme*

$$\chi \equiv \chi(z)$$

Considérons le cas de guides d'onde symétriques.

Si les enveloppes lentement variables (A_1, A_2) vérifient :

$$i \frac{\partial}{\partial z} \begin{pmatrix} A_1 \\ A_2 \end{pmatrix} \equiv \begin{pmatrix} 0 & \chi(z) \\ \chi(z) & 0 \end{pmatrix} \begin{pmatrix} A_1 \\ A_2 \end{pmatrix},$$

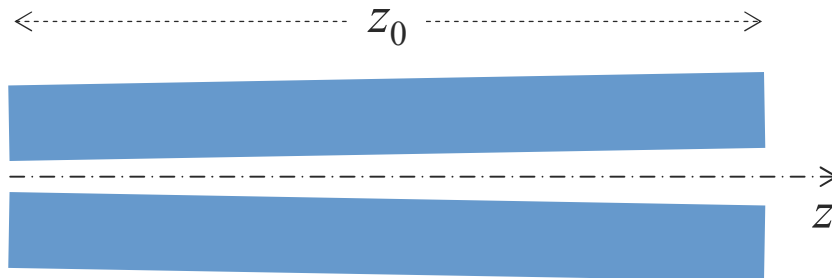
et sous réserve que les variations de χ restent lentes, alors (A_1, A_2) sont toutes deux solutions de l'équation différentielle

$$\frac{\partial^2 F}{\partial z^2} - \frac{1}{\chi} \left(\frac{\partial \chi}{\partial z} \right) \frac{\partial F}{\partial z} + \chi^2 F = 0$$

Pour certains profils de la constante de couplage, l'équation de propagation admet des solutions exactes.

Cf. "Weighted coupling" in Th. Tamir (Ed.), *Guided-Wave Optoelectronics*, Springer-Verlag, 1990.

Variation lente à profil *linéaire*



$$d(z) = d_0 \left(1 + z/z_0\right)$$

$$e^{-\gamma d} = e^{-\gamma d_0} e^{-\gamma d_0 z/z_0}$$

$$\chi(z) \equiv \chi_i e^{-\alpha z} = \chi_i e^{-z/a}$$

$$\frac{\partial^2 F}{\partial z^2} + \alpha \frac{\partial F}{\partial z} + \chi_i^2 e^{-2\alpha z} F = 0$$

$$F(z) = k_a \cos\left[\chi_i a e^{-z/a}\right] + k_b \sin\left[\chi_i a e^{-z/a}\right]$$

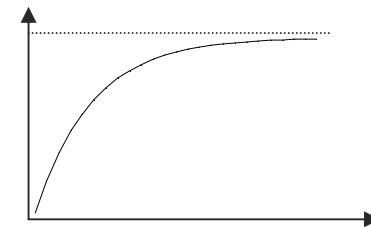
$$a = \left(\frac{z_0}{\gamma d_0}\right) = \frac{1}{\alpha}$$

$$\begin{pmatrix} A_1(z) \\ A_2(z) \end{pmatrix} = \begin{pmatrix} \cos[\Phi(z)] & -i \sin[\Phi(z)] \\ -i \sin[\Phi(z)] & \cos[\Phi(z)] \end{pmatrix} \begin{pmatrix} A_{10} \\ A_{20} \end{pmatrix}$$

$$\Phi(z) = \chi_i a \left(1 - e^{-z/a}\right)$$

Couplage effectif (max) :

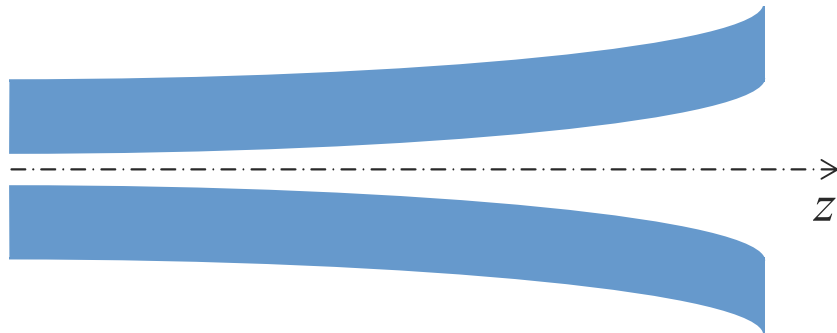
$$(\chi L)_{eff} = \chi_i a = \frac{\chi_i z_0}{\gamma d_0}$$



Variation lente à profil *parabolique*

$$d(z) = d_0 \left(1 + \frac{z^2}{2z_0^2} \right)$$

$$\chi(z) \equiv \chi_i e^{-(z/a)^2}$$



$$\frac{\partial^2 F}{\partial z^2} + \frac{2z}{a^2} \frac{\partial F}{\partial z} + \chi_i^2 e^{-2(z/a)^2} F = 0$$

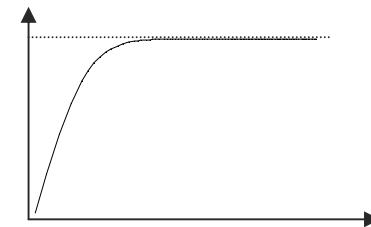
$$F(z) = k_a \cos \left[\frac{\chi_i a \sqrt{\pi}}{2} \text{Erf} \left(\frac{z}{a} \right) \right] + k_b \sin \left[\frac{\chi_i a \sqrt{\pi}}{2} \text{Erf} \left(\frac{z}{a} \right) \right] \quad a^2 = 2 \frac{z_0^2}{\gamma d_0}$$

$$\begin{pmatrix} A_1(z) \\ A_2(z) \end{pmatrix} = \begin{pmatrix} \cos[\Phi(z)] & -i \sin[\Phi(z)] \\ -i \sin[\Phi(z)] & \cos[\Phi(z)] \end{pmatrix} \begin{pmatrix} A_{10} \\ A_{20} \end{pmatrix}$$

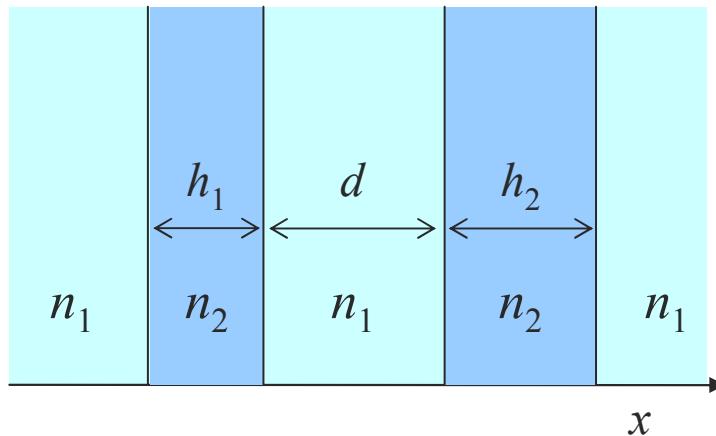
$$\Phi(z) = \frac{\chi_i a \sqrt{\pi}}{2} \text{Erf} \left(\frac{z}{a} \right)$$

Couplage effectif (max) :

$$(\chi L)_{eff} = \frac{\chi_i a \sqrt{\pi}}{2}$$



Même principe de calcul, mais...



$$\begin{pmatrix} \beta_1 & 0 \\ 0 & \beta_2 \end{pmatrix} \rightarrow \begin{pmatrix} \beta' & 0 \\ 0 & \beta' \end{pmatrix} + \begin{pmatrix} \Delta' & \chi \\ \chi & -\Delta' \end{pmatrix}$$

Le calcul matriciel donne accès aux constantes de propagation (β_a, β_b) des supermodes, donc à :

$$\beta' = \frac{\beta_a + \beta_b}{2}, \quad \Gamma = \frac{\beta_a - \beta_b}{2}.$$

Le désaccord de phase initial $\Delta = (\beta_1 - \beta_2)/2$, parfaitement déterminé par la relation de dispersion modale de chaque guide isolé, a été transformé en Δ' , quantité inconnue.

La seule connaissance de $\Gamma^2 = \chi^2 + \Delta'^2$ et de β' permet-elle de remonter séparément à la constante de couplage χ et au désaccord de phase Δ' ?

- 1) L'approche matricielle exacte confirme l'approche perturbative, tout en l'affinant.
- 2) La théorie du couplage de modes reste donc valide même en régime non perturbatif ($d \rightarrow 0$).
- 3) **D'un point de vue fondamental, tout guide multimode est assimilable à un système de guides monomodes couplés.**
- 4) Pour certains coupleurs non uniformes à variation lente, les équations admettent des solutions exactes, qui prennent parfois une forme étonnamment familière, et d'interprétation physique immédiate.
- 5) L'extension à des guides monomodes *dissymétriques* est à l'étude : le problème reste ouvert.